_____ ФИЗИЧЕСКАЯ ХИМИЯ ____ РАСТВОРОВ

УДК 543.552;544.653;543.632.564

КИНЕТИКА И МЕХАНИЗМ АНОДНОГО РАСТВОРЕНИЯ ЗОЛОТА В РАСТВОРЕ 1,2-ДИАМИНОЭТАНА

© 2019 г. М. Д. Веденяпина^{а,*}, В. В. Кузнецов^{а,**}, Н. Н. Махова^{а,***}, Д. И. Родикова^{а,****}

^a Российская академия наук, Институт органической химии им. Н.Д. Зелинского, Москва, Россия *e-mail: mvedenyapina@vandex.ru

**e-mail: kuz@ioc.ac.ru

***e-mail: mnn@ioc.ac.ru

****e-mail: ultradi@list.ru

Поступила в редакцию 24.05.2018 г.

Изучен процесс коррозии Au анода в растворе 1,2-диаминоэтана (ЭДА) методом гравиметрии. Обнаружено, что продукты коррозии Au электрода в гальваностатических условиях восстанавливаются на стальном катоде с образованием электролитического осадка Au. Изучена кинетика электрохимической коррозии золота в среде ЭДА. Показано образование в растворе комплекса Au с ЭДА и предложена его структура.

Ключевые слова: 1,2-диаминоэтан, Аи анод, стальной катод, кинетика, коррозия, комплекс

DOI: 10.1134/S0044453719020316

В работах [1-3] нами впервые было описано явление анодной коррозии золотого электрода в среде диазиридинов и 1,3-диаминопропана. Коррозия в растворах этих соединений протекает с образованием комплексов золота, которые затем восстанавливаются на катоде. Показано также, что в некоторых случаях в объеме раствора образуется коллоидное золото и возможно образование золотого зеркала на поверхности электрохимической ячейки. Было найдено, что скорость коррозии золотого анода и вторичных реакций с участием золота существенно зависят от природы исследованных аминосоединений. Для 1,3-диаминопропана анодные пики тока на ЦВА смещены на 0.3-0.5 В в более катодную область, чем для диазиридинов, на основании чего можно было сделать вывод, что 1,3-диаминопропан должен легче вызывать коррозию золота, чем диазиридины. В работе [4] нами было исследовано электрохимическое поведение Аи электрода в слабоосновных растворах этилендиамина, 1,2-диаминопропана, 1,3-диаминопропана и 1,4-диаминобутана методом циклической вольтамперометрии. Показано, что этилендиамин (ЭДА) проявляет наибольшую активность в анодном растворении золота в ряду изученных диаминов. Для более детального изучения процесса коррозии золота в слабоосновном растворе ЭДА представляло интерес изучить его кинетику с помощью метода гравиметрии.

ЭКСПЕРИМЕНТАЛЬНАЯ ЧАСТЬ

В работе использовался ЭДА фирмы "ACROS". Рабочие растворы были приготовлены на бидистиллированной воде. K_2CO_3 имел квалификацию "ч. д. а.". pH растворов измеряли с помощью pH-метра pH-150 MИ и стеклянного электрода.

Анодную коррозию золота проводили в двухэлектродной ячейке без разделения анодного и катодного пространства. Анодом и катодом служили золотая и стальная проволоки диаметром 0.3 мм соответственно. Электролиз проводили в гальваностатическом режиме. Концентрация ЭДА в 0.05 М растворе K_2CO_3 составляла 1.0 моль/л, объем раствора был равен 20 мл. Взвешивание электродов проводили на электронных аналитических весах ABJ220-4NM фирмы Kern (USA) ($d=0.0001~\rm r$).

Для выделения комплексного соединения Au с ЭДА, образующегося в процессе электролиза с использованием Au электрода, реакционный раствор оставляли в открытом стеклянном кристаллизаторе до полного испарения воды при комнатной температуре. Образующийся твердый остаток экстрагировали метанолом (2 \times 50 мл) и растворитель удаляли, выдерживая метанольный раствор в открытом стеклянном кристаллизаторе \sim 6 ч при 30–35°C.

Спектры ЯМР 1 Н, образовавшегося комплексного соединения регистрировали на спектромет-

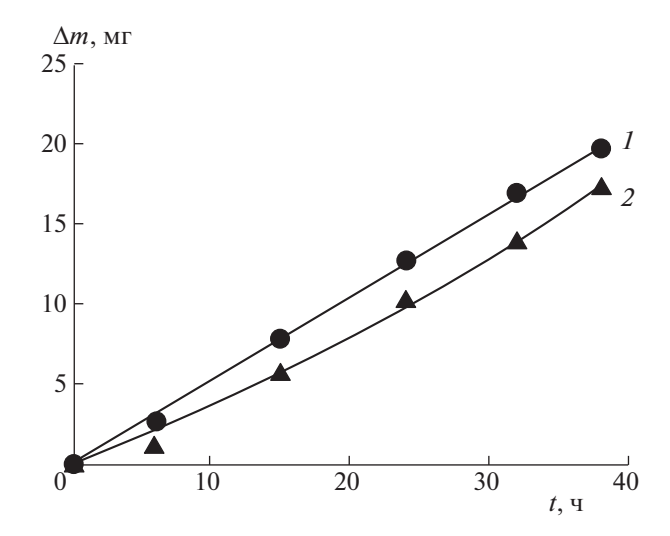


Рис. 1. Кинетика анодного растворения металлического золота в растворе ЭДА при силе тока 10 мА и C=1.0 моль/л; $I(\Delta m_{\rm corr})$ — убыль массы золотого анода, $2(\Delta m_{\rm dep})$ — масса катодного осадка металлического золота.

ре "Bruker AM-300" (300 МГц), спектры ЯМР 13 С — на спектрометре "Bruker AM-300" (75.47 МГц), ИК-спектры регистрировали на приборе "Bruker "Alpha"" в прессовке с KBr.

Спектрофотометрический анализ комплексного соединения, полученного после электролиза ЭДА, проводили на спектрофотометре Hitachi U-1900. При скорости 400 нм/мин в диапазоне длины волны от 220 нм до 800 нм.

Микроструктуру электродов изучали методом сканирующей электронной микроскопии с полевой эмиссией (FE-STEM) на электронном микроскопе Hitachi SU8000. Съемку изображений вели в режиме регистрации вторичных электронов при ускоряющем напряжении 2-30 кВ и рабочем расстоянии 8-10 мм. ЭДС - исследование образцов было осуществлено с помощью энерго-дисперсионного спектрометра Oxford Instruments Х-тах. Исследованный раствор, полученный в результате электролиза ЭДА, наносили на графитовый брусок с последующим высушиванием в вакууме. Перед съемкой образцы помещали на поверхность алюминиевого столика диаметром 25 мм, графитовый брусок фиксировали при помощи проводящей липкой ленты, а образцы проволок — при помощи двух винтов. Оптимизация аналитических измерений проведена в рамках описанного ранее подхода [5, 6].

ОБСУЖДЕНИЕ РЕЗУЛЬТАТОВ

Как и в работе [3], при проведении электролиза ЭДА при силе тока 10 мА на Аи электроде последний подвергается коррозии с потерей массы.

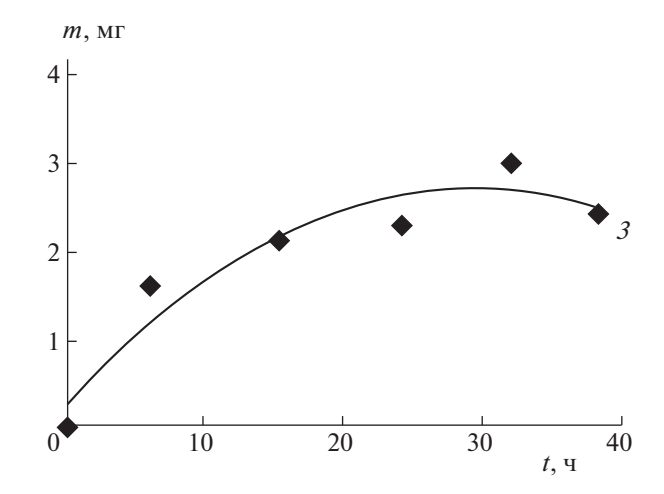


Рис. 2. Расчетная масса золота ($\Delta m_{\rm sol}$), находящегося в растворе ЭДА при силе тока 10 мА и C=1.0 моль/л.

При этом на катоде (стальной проволоке) осаждается металлическое золото. На рис. 1 приведена кинетика убывания массы золотого анода ($\Delta m_{\rm corr}$) и роста массы катодного осадка ($\Delta m_{\rm dep}$). Из разности этих величин рассчитывалась масса золота, находящегося в рабочем растворе ($\Delta m_{\rm sol}$).

Найдено, что в процессе электролиза величина $\Delta m_{\rm corr}$ возрастает линейно, $\Delta m_{\rm dep}$ увеличивается экспоненциально, а величина $\Delta m_{\rm sol}$ с увеличением времени электролиза проходит через максимум через 30—35 часов (рис. 2). Сравнение этих данных с данными работы [3], в которой исследовался аналогичный процесс с 1,3-диаминопропаном, показывает их сходство.

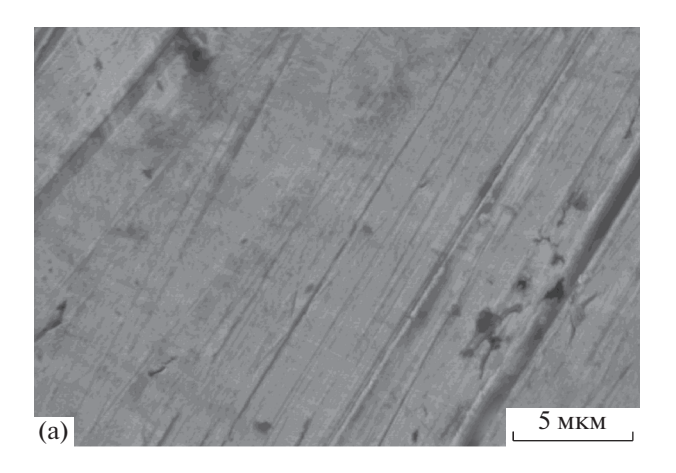
Для интерпретации наблюдаемых кинетических зависимостей сумма реакций анодного растворения и катодного осаждения золота можно представить в виде системы дифференциальных уравнений [1]:

$$dm_1/dt = k_1,$$

$$dm_2E/dt = k_1 - k_2m_2,$$

$$dm_3/dt = k_2m_2,$$

где m_1 , m_2 и m_3 — значения массы золота, переходящего с анода в раствор, осаждающегося из раствора на катод и находящегося в растворе в момент времени t. Решение этой системы уравнений с помощью системы Mathcad позволило найти значения k_1 и k_2 , наиболее точно описывающие полученные экспериментальные данные, приведенные на рис. 1 и 2. Значения k_1 и k_2 равны 0.55 (мг/ч) и 0.11 (ч $^{-1}$) соответственно. Сравнивая эти данные и результаты расчетов констант для 1,3-ДАП [1], где значения k_1 и k_2 равны 0.38 (мг/ч) и 0.071 (ч $^{-1}$) соответственно, можно сделать вывод о более легко протекающем анодном процессе в среде ЭДА. Этот вывод подтверждается и полу-



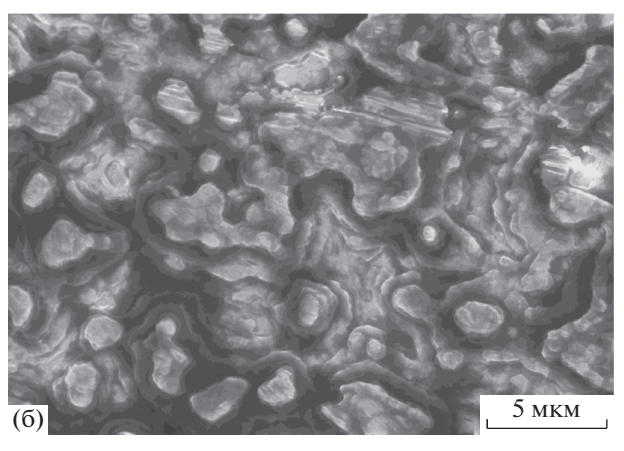
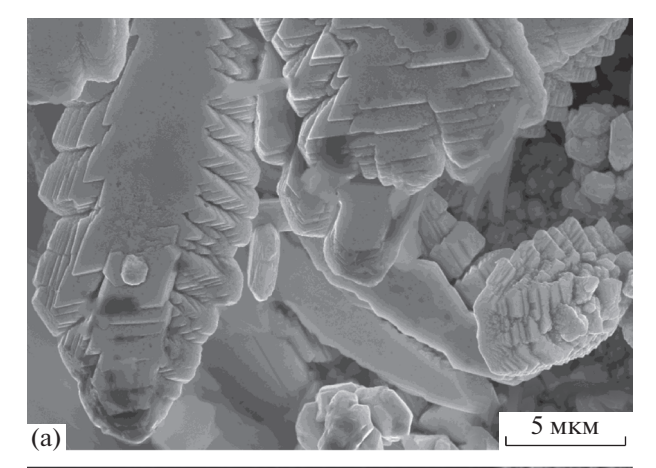


Рис. 3. Электронно-микроскопические фотографии поверхности золотого анода; а — до процесса электролиза; δ — после процесса электролиза.

ченными ЦВА в работе [4], в которой было обнаружено уменьшение величин максимумов катодных и анодных токов на ЦВА в среде 1,3-ДАП по сравнению со средой ЭДА и, соответственно, в увеличении значений потенциалов максимумов токов на анодных ветвях ЦВА. Катодный процесс осаждения золота в среде ЭДА протекает несколько интенсивнее, чем в 1,3-ДАП.

Элементный анализ выделенного комплекса показал, что содержание азота в нем равно 23.97%. Эти значения близки к значениям, рассчитанным для комплекса Au-ЭДA с соотношением металл-лиганд 1:3 (рассчитанное содержание N-22.28%).

Комплексное соединение Au с ЭДА было изучено методом ЯМР. В спектрах ЯМР 1 Н этого соединения наблюдается заметный слабопольный сдвиг основных групп сигналов по сравнению с соответствующими сигналами свободного ЭДА, что подтверждает факт комплексообразования. В спектре ЯМР 1 Н в D_2 О протоны С-метиленовых групп регистрируются в виде двух уширен-



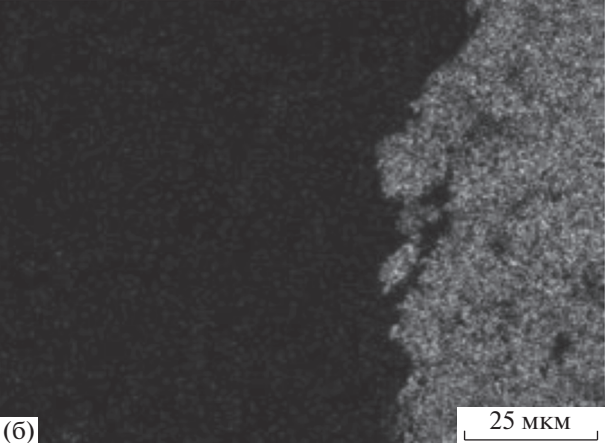


Рис. 4. Электронно-микроскопическая фотография поверхности стального катода с осадком Au (а) и изображение распределения осадка Au на поверхности стального катода (б).

ных дублетов в области 2.85-3.05 и 3.15-3.30 м.д., тогда как, в спектре ЯМР 1Н в D2O исходного ЭДА сигналы этих же протонов регистрируются в виде синглета в области 2.68 м.д. Таким образом, слабопольный сдвиг С-метиленовых протонов составил $\Delta = 0.37$ м.д. и $\Delta = 0.55$ м.д. В спектре ЯМР 1 Н в DMSO- d^{6} того же соединения, протоны С-метиленовых групп регистрируются в виде двух уширенных мультиплетов в области 2.71-2.80 и 3.05—3.11 м.д. Тогда как, в спектре ЯМР ¹Н в DM- $SO-d^6$ исходного ЭДА сигналы этих же протонов регистрируются в виде синглета в области 2.49 м.д. (DMSO $\delta = 2.52$ м.д.) Таким образом, слабопольный сдвиг С-метиленовых протонов составил $\Delta = 0.27$ м.д. и $\Delta = 0.59$ м.д. Однако более детальной информации о строении комплексного соединения из спектров ЯМР ¹Н получить не удается, по-видимому, из-за высокой скорости обмена между лигандом и атомом золота в растворе. Уменьшить же скорость обмена, например в CDCl₃ путем снижения температуры не удается вследствие низкой растворимости комплекса зо-

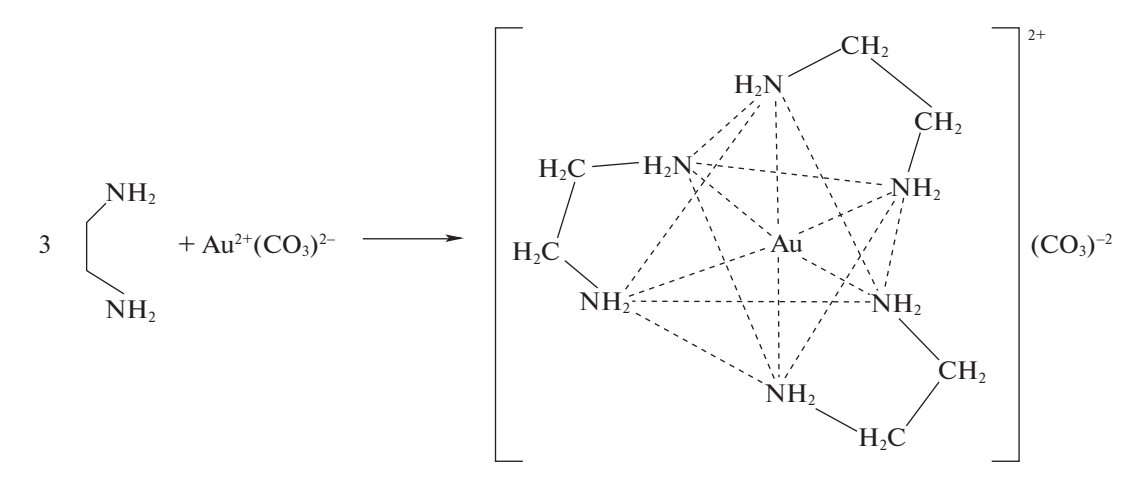


Рис. 5. Вероятная структура комплекса Au с ЭДА – карбонат трис(1,2-диаминоэтан) золота(II).

лота в этом растворителе и как следствие выпадения его из раствора.

В ИК-спектре вероятного координационного соединения $Au^{2+}CO_3^{2-}$ с ЭДА в области валентных колебаний NH₂-группы наблюдается характерное низкочастотное смещение основной полосы валентных колебаний $v(NH_2)$ на $\Delta v = 48$ см⁻¹ — от $3355 \,\mathrm{cm}^{-1}\,\mathrm{B}$ свободном лиганде (ЭДА) до $3307 \,\mathrm{cm}^{-1}\,\mathrm{B}$ координационном соединении. Это указывает на координацию NH₂-группы с атомом золота. Об участии аминогруппы в координации свидетельствует также высокочастотное смещение полосы веерных колебаний аминогруппы ω(NH₂) свободного лиганда (ЭДА) с 915 до 1161 см $^{-1}$ в ИК-спектре образующегося координационного соединения. Аналогичное высокочастотное смещение от 940 до $1164\,\mathrm{cm^{-1}}$ наблюдается и в спектрах комплексов солей Cu^{2+} с этилендиамином [7].

Координационное соединение и его водный раствор были окрашены в рыжий цвет и имели полосу поглощения в видимой части спектра с максимумом в области 550 нм.

Из результатов электронно-микроскопического исследования (рис. 3 и рис. 4) видно, что Au анод в процессе электролиза в среде ЭДА корродировал (рис. 36), а на поверхности стального катода образовался катодный осадок Au в виде кристаллов (рис. 4а). ЭДС-исследование химическоповерхности стального состава показало распределение Аи на поверхности катода (рис. 4б). Изучение раствора ЭДА после электролиза методом электронной микроскопии показало отсутствие в нем металлического золота, на основании чего можно сделать вывод, что Au в растворе присутствует только в виде комплексного соединения.

По аналогии с комплексами, полученными на основе солей переходных металлов и соединений—лигандов, содержащих бисаминоалкильные фрагменты в молекуле — этилендиамина [8], 1,2-бис(2-аминоэтил)диазиридина [9], 1-(2-аминоэтил)-2-метилдиазиридина [9] и 6,6'-бис(1,5-диазабицикло[3.1.0]гексана) [10], строение которых подробно изучено, в том числе с помощью РСА, можно предположить, что образующиеся в нашем случае координационное соединение золота с ЭДА может иметь октаэдрическую структуру, представленную на рис. 5.

Авторы благодарят Отдел структурных исследований ИОХ РАН за исследование образцов методом электронной микроскопии.

СПИСОК ЛИТЕРАТУРЫ

- Симакова А.П., Веденяпина М.Д., Кузнецов В.В. и др. // Журн. физ. химии. 2014. Т. 88. № 2. С. 344.
- 2. Веденяпина М.Д., Кузнецов В.В., Махова Н.Н. и др. // Там же. 2016. Т. 90. № 9. С. 1428.
- 3. Веденяпина М.Д., Убушиева Г.Ц., Кузнецов В.В. и др. // Там же. 2016. Т. 90. № 11. С. 1748.
- 4. Vedenyapina M.D., Kuznetsov V.V., Rodikova D.I. et al. // Mendeleev Commun. 2018. V. 28. P. 181.
- Качала В.В., Хемчян Л.Л., Кашин А.С. и др. // Успехи химии. 2013. Т. 82. № 7. С. 648.
- 6. Умланд Ф., Янсен А., Тириг Д. и др. Комплексные соединения в аналитической химии. М.: Мир, 1975. 531 с.
- 7. Dwara Kanath K., Sathyanarayana D.N. // Bull. Soc. Chim. Belg. 1978. V. 87. № 9. P. 677.
- 8. *Синдицкий В.П., Дутов М.Д., Фогельзанг А.Е. и др. //* Журн. неорган. химии. 1991. Т. 36. № 4. С. 944.
- 9. *Шевцов А.В., Петухова В.Ю., Кутепов С.А. и др. //* Изв. АН. Сер. хим. 2000. № 11. С. 1910.
- 10. *Сыроешкина Ю.С., Ферштат Л.Л., Сыроешкин М.А. и др.* // Там же. 2009. № 5. С. 977.